



НАНО- И МИКРОСИСТЕМНАЯ ТЕХНИКА

ISSN 1813-8586

- Нанотехнологии
- Зондовая микроскопия
- Микромашины и наносистемы
- Молекулярная электроника
- Биоактивные нанотехнологии
- Элементы датчиков и биочипы
- Микроэлектромеханические системы
- Микрооптоэлектромеханические системы
- Биомикроэлектромеханические системы

**5 (178)
2015**

Рисунки к статье В. С. Суханова, Д. В. Гусева, Р. С. Литвиненко
«МОДЕЛИРОВАНИЕ КРИСТАЛЛА ТЕНЗОРЕЗИСТИВНОЙ МАТРИЦЫ ЧУВСТВИТЕЛЬНЫХ ЭЛЕМЕНТОВ ДАВЛЕНИЯ»

V. S. Sukhanov, D. V. Gusev, R. S. Litvinenko
«CRYSTAL MODELING OF THE TENSORESISTIVE MATRIXES OF THE SENSITIVE PRESSURE ELEMENTS»

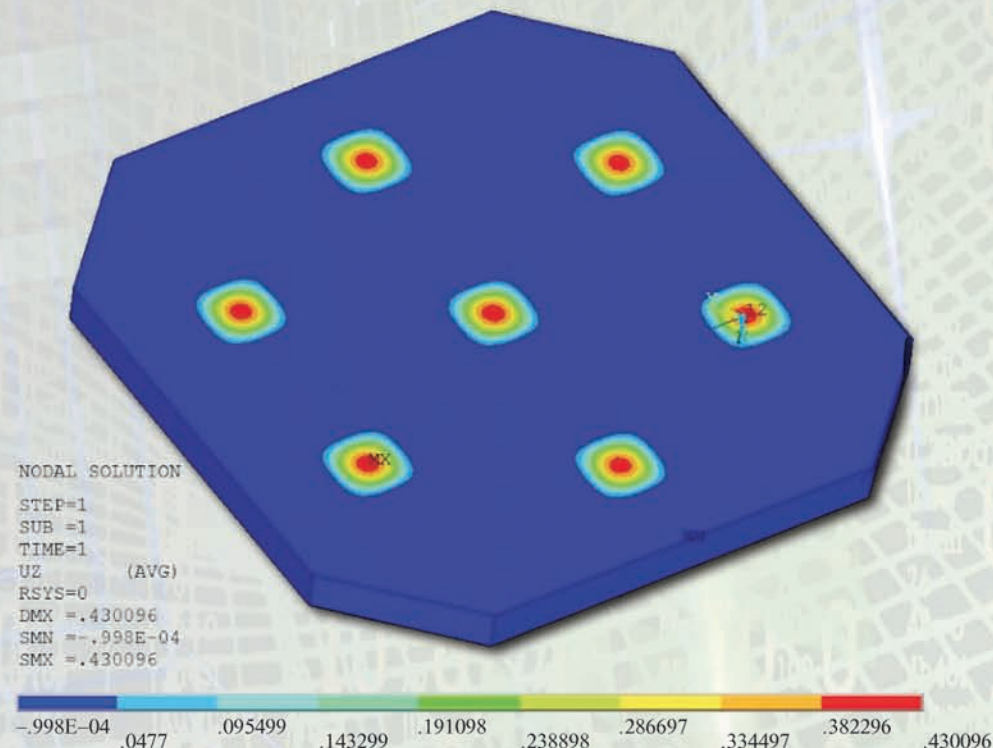


Рис. 1. Деформация кристалла МИПД-7 при давлении 40 кПа и температуре +20 °C

Fig. 1. Deformation of MIPD-7 crystal at pressure of 40 kPa and 20 °C

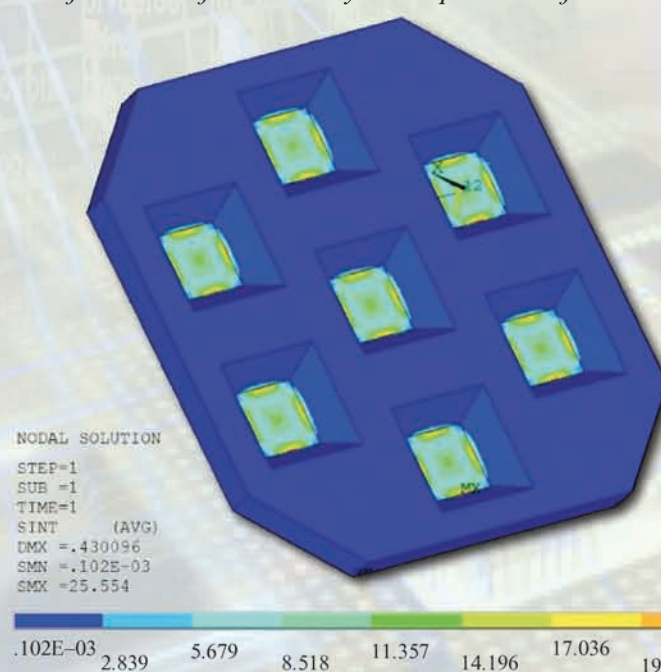


Рис. 2. Интенсивности деформаций в структуре кристалла МИПД-7 при давлении 40 кПа и температуре +20 °C

Fig. 2. Intensities of deformations in the structure of MIPD-7 crystal at pressure of 40 kPa and 20 °C

Рисунки к статье А. Н. Старикова, В. Ф. Коростелёва
**«ПОВЫШЕНИЕ ВИБРАЦИОННОЙ УСТОЙЧИВОСТИ
МИКРОЭЛЕКТРОННЫХ УСТРОЙСТВ»**

A. N. Starikov, V. F. Korostelev
**«IMPROVEMENT OF THE VIBRATION RESISTANCE
OF THE MICROELECTRONIC DEVICES»**

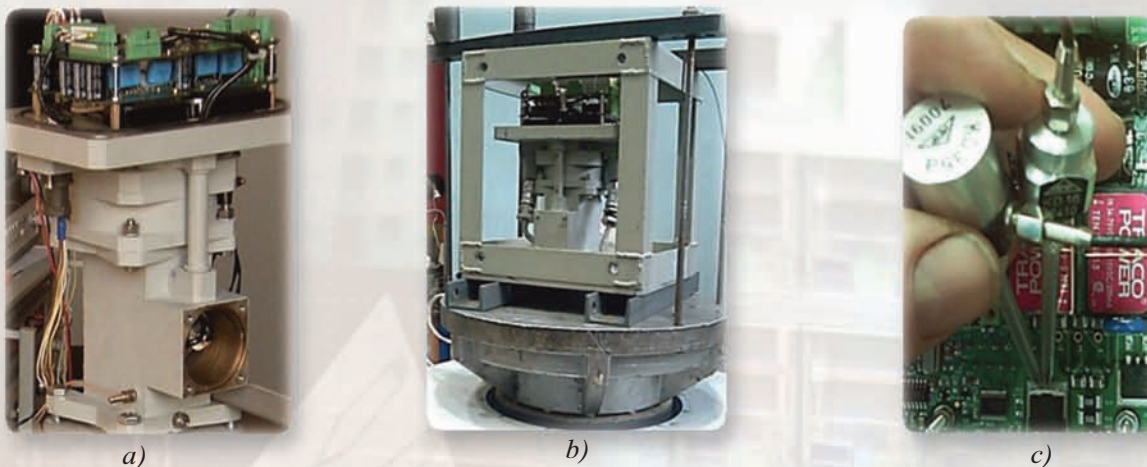


Рис. 1. Испытательный стенд:
 a - привод; b - привод на виброустройстве; c - совместная работа датчиков

Fig. 1. Test bench: a - drive; b - drive on the vibrodevice; c - combined action of the sensors

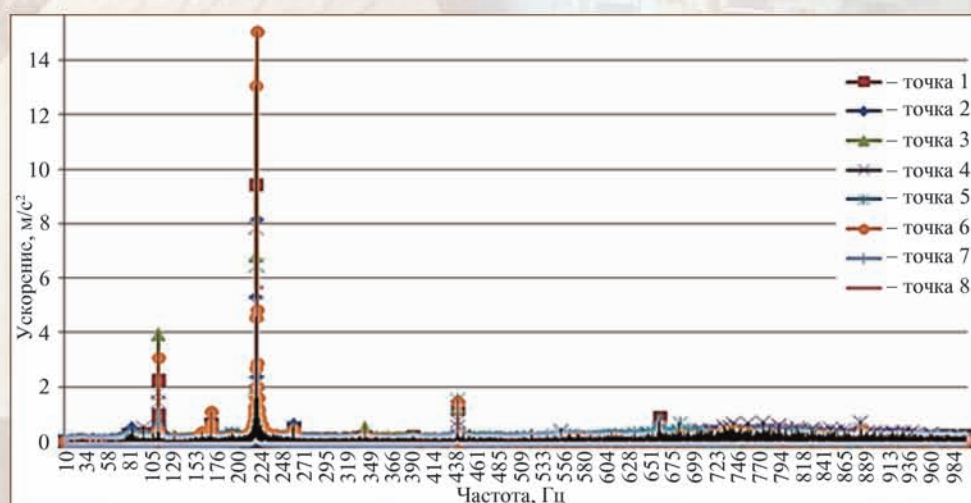
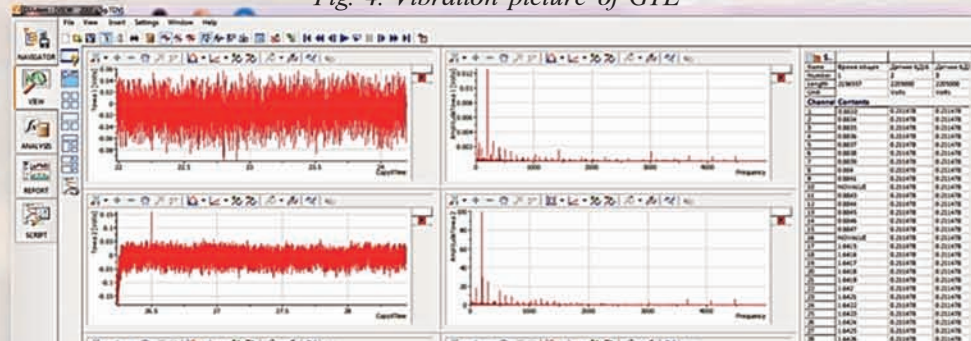
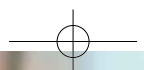


Рис. 4. Вибрационная картина ГТД

Fig. 4. Vibration picture of GTE





Рисунки к статье А. Н. Старикова, В. Ф. Коростелёва
**«ПОВЫШЕНИЕ ВИБРАЦИОННОЙ УСТОЙЧИВОСТИ
 МИКРОЭЛЕКТРОННЫХ УСТРОЙСТВ»**

A. N. Starikov, V. F. Korostelev
**«IMPROVEMENT OF THE VIBRATION RESISTANCE
 OF THE MICROELECTRONIC DEVICES»**

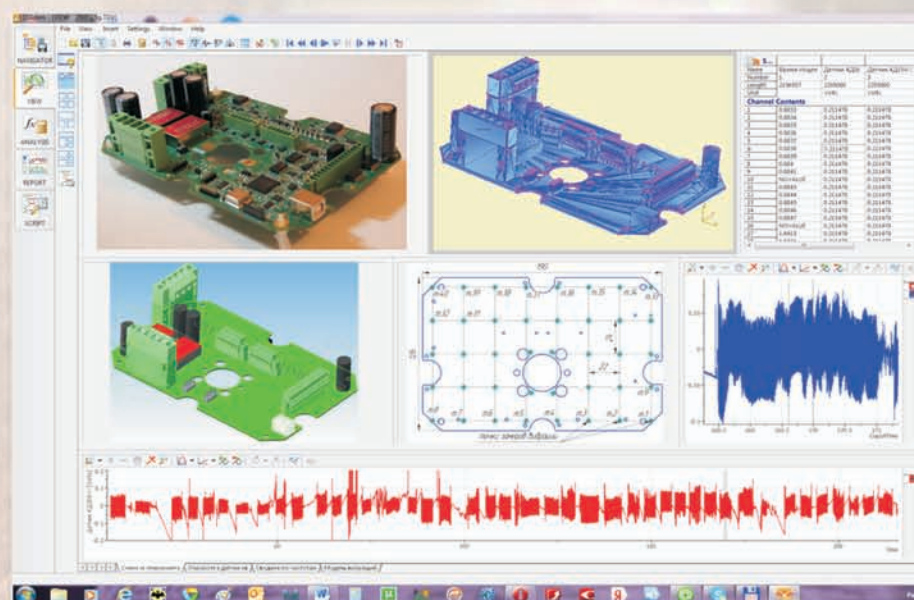


Рис. 7. Данные в пакете DIAdem: фото, оффсетная модель, 3D-модель, чертеж платы, данные с вибродатчиков
 Fig. 7. Data in DIAdem package: photo, offset model, 3D model, drawing of the board, data from the vibration sensors

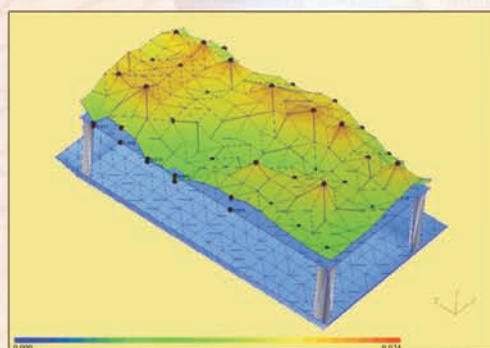


Рис. 8. 3D-картина вибрационного поля платы (200 Гц, 5 г)

Fig. 8. 3D picture of the vibration field of the board of 200 Hz, 5g

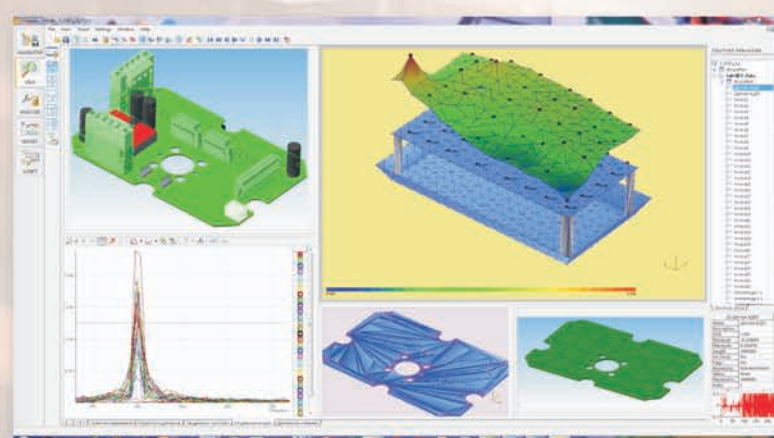


Рис. 9. 3D-картина вибрационного поля платы (250 Гц, 5 г)

Fig. 9. 3D picture of the vibration field of the board of 250 Hz, 5g